

# 自动控制原理上机

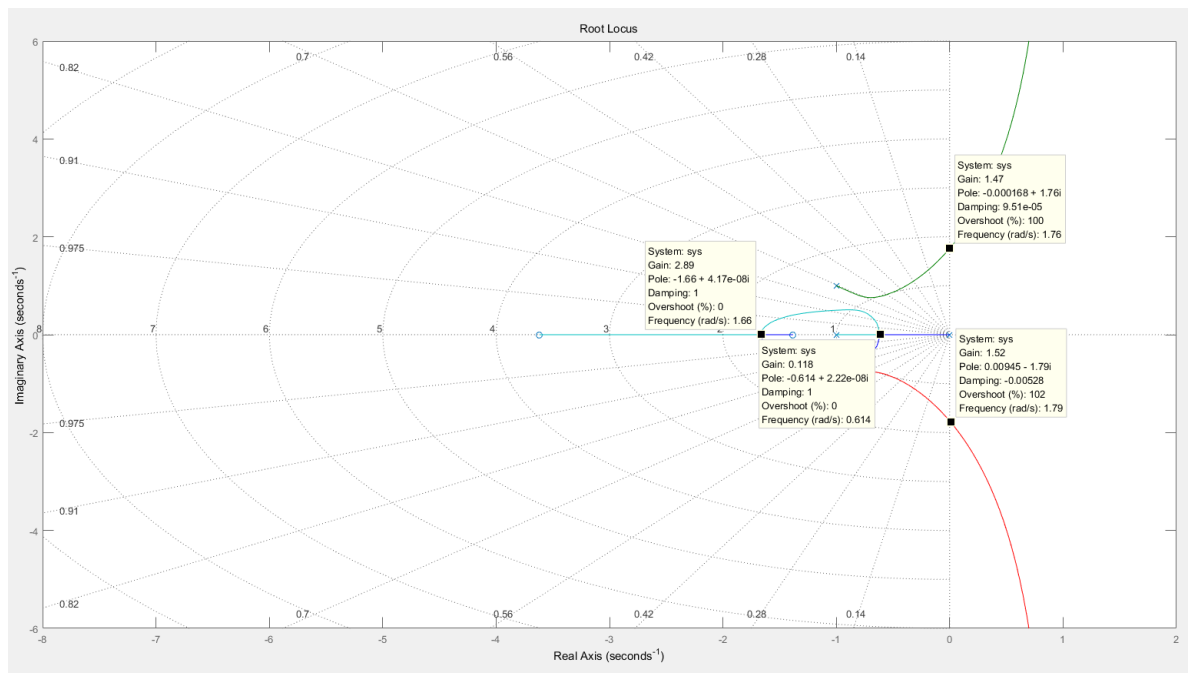
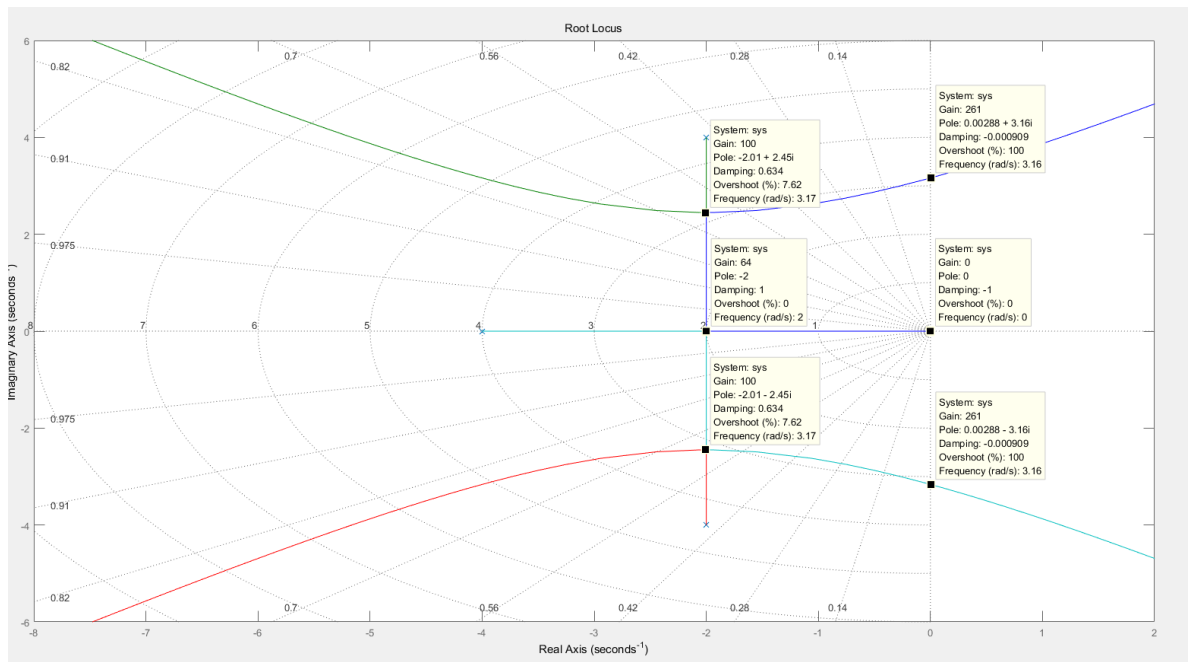
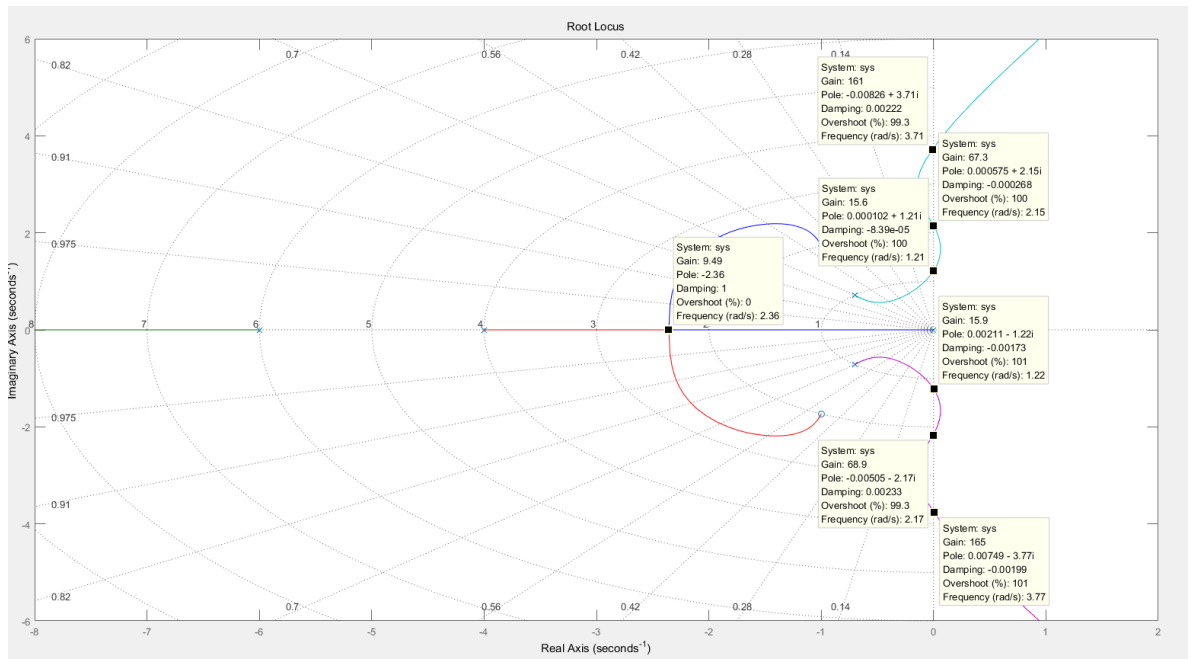
## 根轨迹分析和Bode图分析

### 一、基于根轨迹的性能分析

1. 对开环传递函数  $G(s)$ 、 $G_1(s)$ 和  $G_2(s)$ 分别画出关于根轨迹增益  $k$  的闭环根轨迹图，给出根轨迹的分离点、与虚轴的交点，给出使闭环系统稳定的参数  $k$  的范围。
2. 对开环传递函数  $G(s)$ 、 $G_1(s)$ 和  $G_2(s)$ ，借助等阻尼比射线，找出使闭环主导极点的阻尼比在  $0.3\sim 0.8$  之间的某一根轨迹增益，画出在该增益下单位反馈闭环系统的阶跃响应。比较从阶跃响应上得到超调与从根轨迹信息框里的超调，进而给出简单的结论。
3. 对开环传递函数  $G_3(s)$ 画出不同零点时的根轨迹，并与不含零点时的根轨迹进行比较，给出简单的结论。

### 问题1

```
1  clc
2  clear all
3  close all
4  num=[1 2 4];
5  den=conv(conv([1 4 0],[1 6]),[1 1.4 1]);
6  sys=tf(num,den);
7  figure(1);
8  rlocus(sys)
9  grid
10 %编写限制根轨迹实轴和虚轴范围的 m 文件
11 axis([-8 2 -6 6])
12 %确定某闭环极点对应的开环增益，以及该增益对应的其它闭环极点
13 %[k,p]=rlocfind(sys)
14
15 num=[1];
16 den=conv([1 4 0],[1 4 20]);
17 sys=tf(num,den);
18 figure(3);
19 rlocus(sys)
20 grid
21 %编写限制根轨迹实轴和虚轴范围的 m 文件
22 axis([-8 2 -6 6])
23 %确定某闭环极点对应的开环增益，以及该增益对应的其它闭环极点
24 %[k,p]=rlocfind(sys).
25
26 num=[1 5 5];
27 den=conv([1 1 0],[1 2 2]);
28 sys=tf(num,den);
29 figure(5);
30 rlocus(sys)
31 grid
32 axis([-8 2 -6 6])
33 %确定某闭环极点对应的开环增益，以及该增益对应的其它闭环极点
34 %[k,p]=rlocfind(sys).
35
```



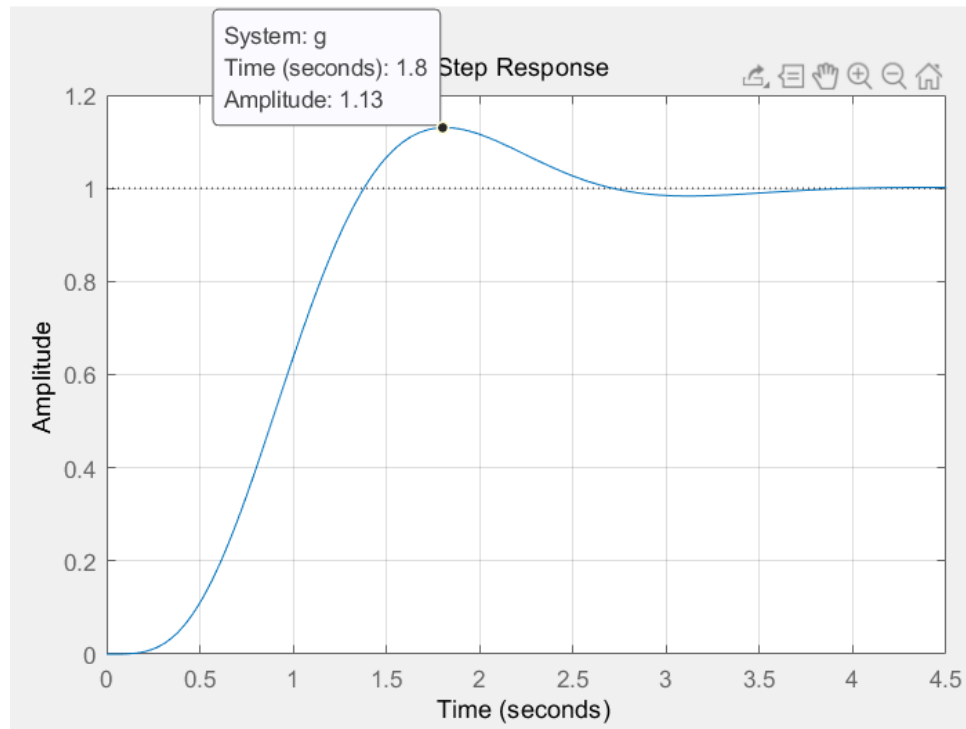
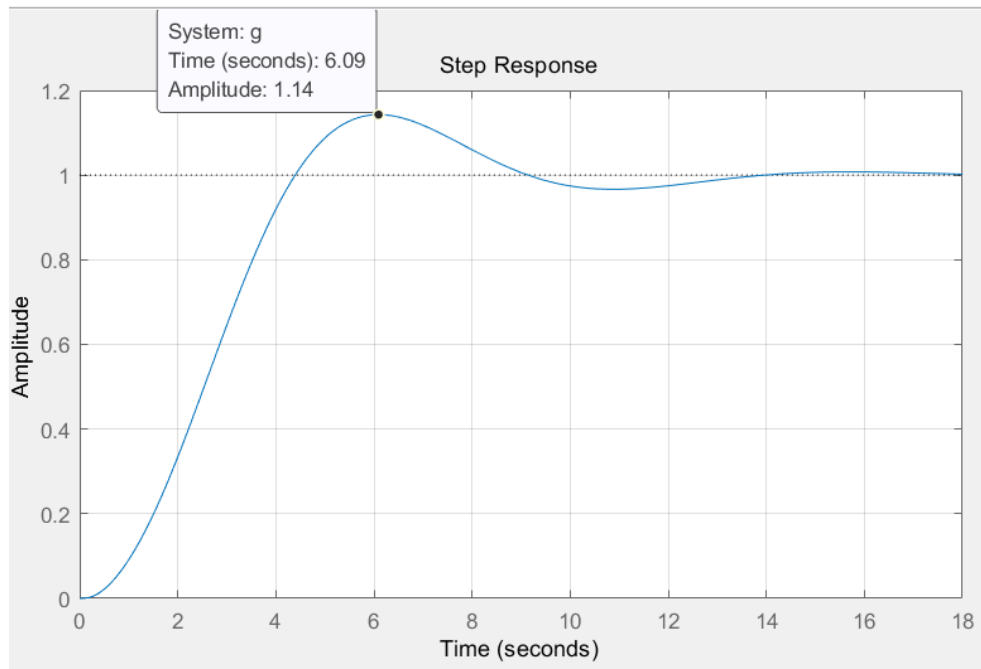
	分离点	与虚轴交点	使闭环系统稳定的k的范围
$G(s)$	$(-2.36, j0)$	$(0, 3.71j), (0, 2.15j), (0, 1.21j),$ $(0, -1.21j), (0, -2.15j), (0, -3.71j)$	$0 < k < 15.6, 67.9 < k < 161$
$G_1(s)$	$(-2, j0),$ $(-2, 2.45j),$ $(-2, -2.45j)$	$(0, 3.16j), (0, 0j), (0, -3.16j)$	$0 < k < 261$
$G_2(s)$	$(-0.614, 0j),$ $(-1.66, 0j)$	$(0, 1.76j), (0, -1.76j)$	$0 < k < 1.5$

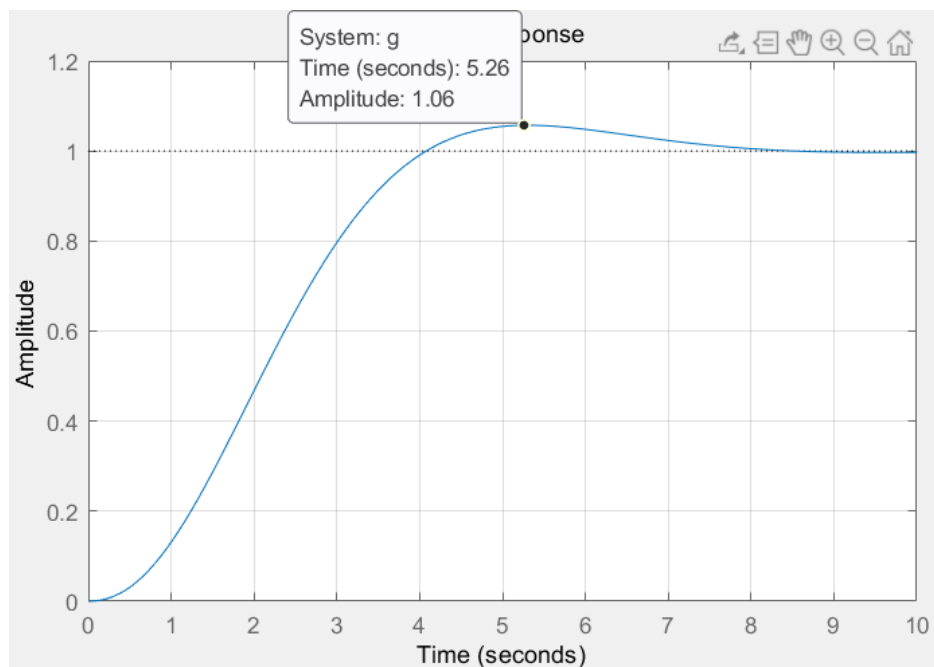
## 问题2

```

1  clc
2  clear all
3  close all
4  num1=[1 2 4];
5  den1=conv(conv([1 4 0],[1 6]),[1 1.4 1]);
6  sys=tf(num1,den1);
7  figure(1);
8  rlocus(sys)
9  grid
10 axis([-8 2 -6 6])
11 %增益K=2.76, 超调22.8%,阻尼比: 0.426
12 figure(4)
13 K=2.76;
14 numa=K.*num1;
15 g=feedback(tf(numa,den1),1);
16 step(g)
17
18 num2=[1];
19 den2=conv([1 4 0],[1 4 20]);
20 sys=tf(num2,den2);
21 figure(2);
22 rlocus(sys)
23 grid
24 axis([-8 2 -6 6])
25 %增益K=102, 超调11%
26 figure(5)
27 K=102;
28 numb=K.*num2;
29 g=feedback(tf(numb,den2),1);
30 step(g)
31
32 num3=[1 5 5];
33 den3=conv([1 1 0],[1 2 2]);
34 sys=tf(num3,den3);
35 figure(3);
36 rlocus(sys)
37 grid
38 axis([-8 2 -6 6])
39 %增益K=0.201, 超调7.58%,阻尼比0.635
40 figure(6)
41 K=0.201;
42 numc=K.*num3;
43 g=feedback(tf(numc,den3),1);
44 step(g)

```





	根轨迹信息框根轨迹增益	信息框超调量	单位反馈闭环系统的阶跃响应超调量	相对误差
$G(s)$	2.76	22.8%	14%	38.56%
$G_1(s)$	102	11%	13%	18%
$G_2(s)$	0.201	7.58%	6%	22%

### • 结论

在误差允许范围内，从根轨迹信息框得到的超调和阶跃响应得到的超调量基本一致。造成差异的原因可能是Matlab在做根轨迹分析时，是当作二阶系统来进行，而实际的系统常为更高阶的系统。本身的拟合算法存在一定缺陷。

## 问题3

```

1 function rootzero(z)
2 num=[1 -z];
3 den=[1 2 2 0];
4 sys=tf(num,den);
5 rlocus(sys)
6 axis([-8 2 -6 6])

```

```

1 figure(1)
2 subplot(2,3,1);rootzero(-100)
3 subplot(2,3,2);rootzero(-90)
4 subplot(2,3,3);rootzero(-80)
5 subplot(2,3,4);rootzero(-70)
6 subplot(2,3,5);rootzero(-60)
7 subplot(2,3,6);rootzero(-50)
8 figure(2)
9 subplot(2,3,1);rootzero(-40)
10 subplot(2,3,2);rootzero(-30)
11 subplot(2,3,3);rootzero(-20)
12 subplot(2,3,4);rootzero(-10)
13 subplot(2,3,5);rootzero(0)

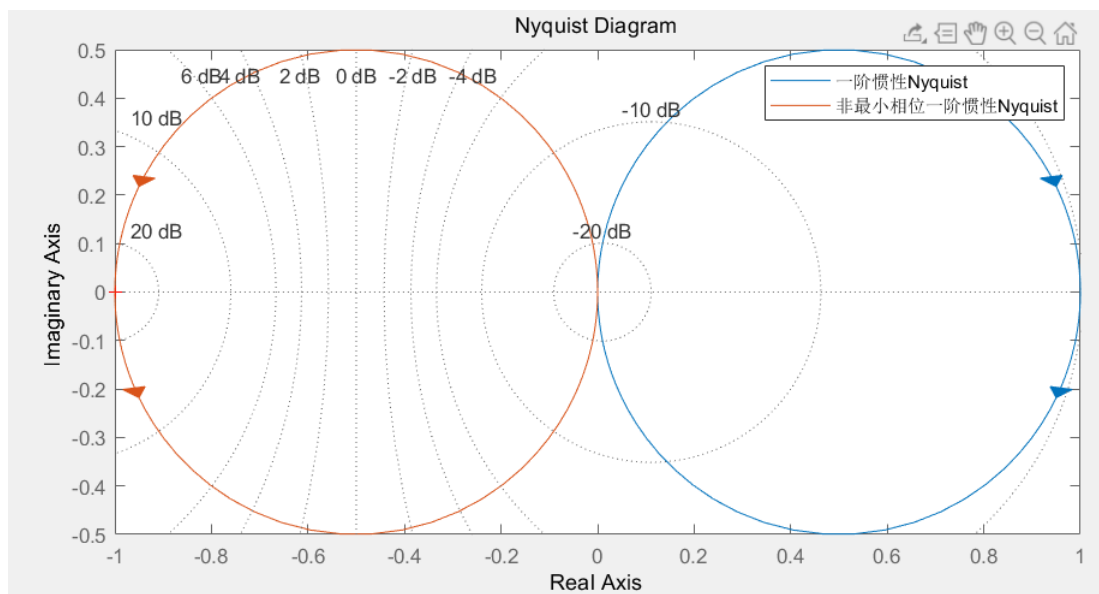
```

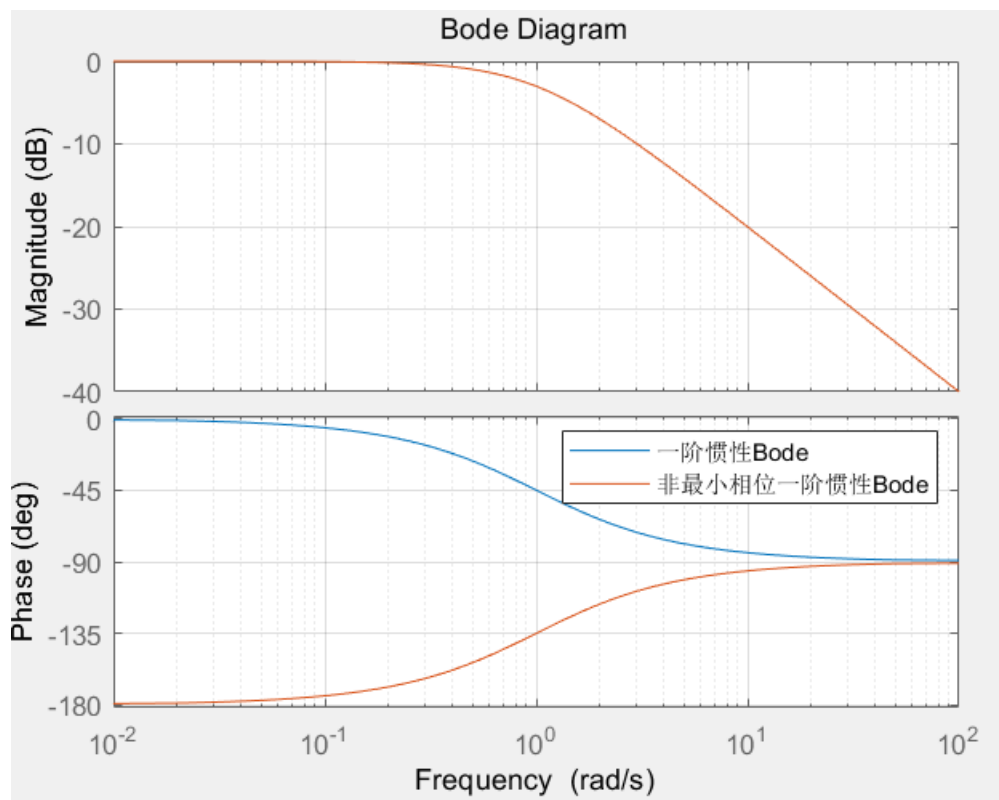
结论：开环零点对根轨迹的绘制有影响。-----

## 二、线性系统的频率特性分析

### 问题1&2

```
1  clc
2  clear all
3  close all
4  %Question1
5  num=[1];
6  den1=[1 1];
7  den2=[1 -1];
8  sys1=tf(num,den1);
9  sys2=tf(num,den2);
10 figure(1);
11 hold on
12 nyquist(sys1)
13 nyquist(sys2)
14 hold off
15 grid
16 legend('一阶惯性Nyquist','非最小相位一阶惯性Nyquist');
17
18 figure(2);
19 bode(sys1)
20 hold on
21 bode(sys2)
22 hold off
23 grid
24 legend('一阶惯性Bode','非最小相位一阶惯性Bode');
25
```





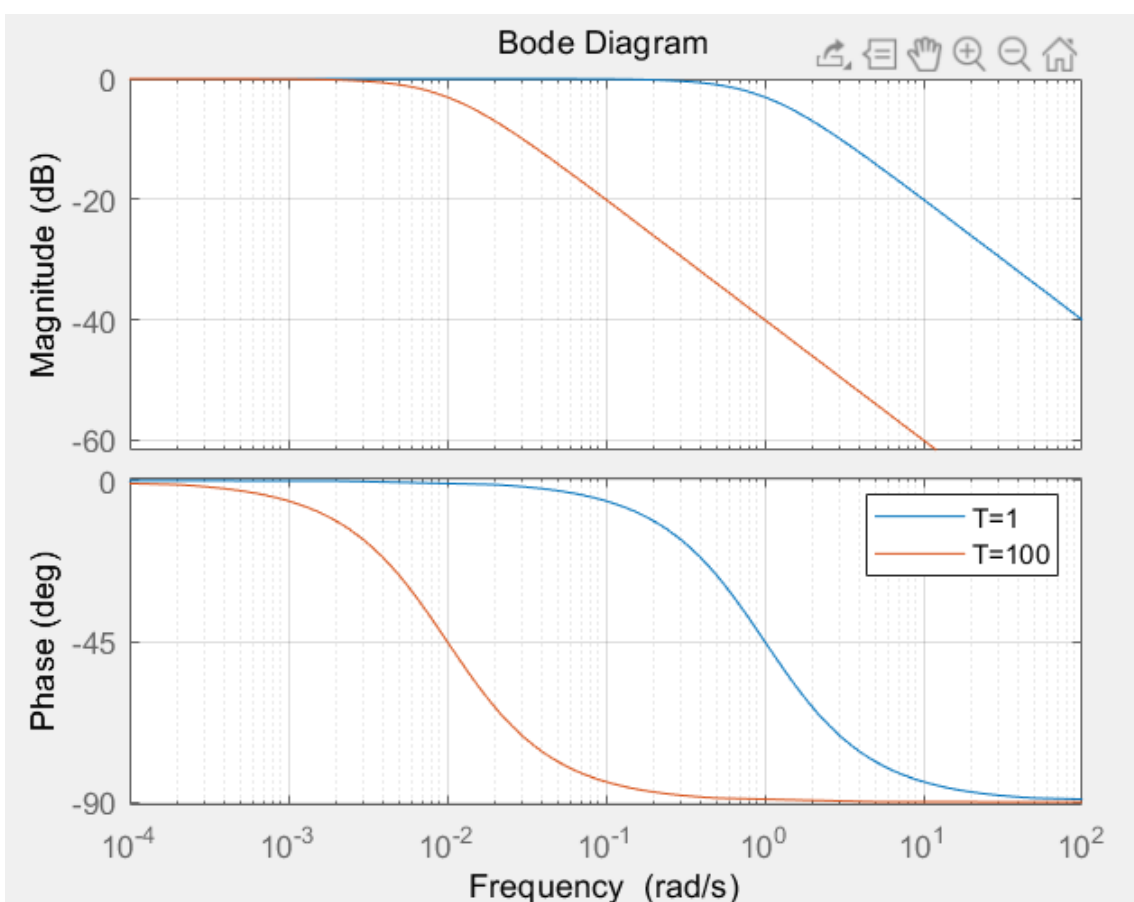
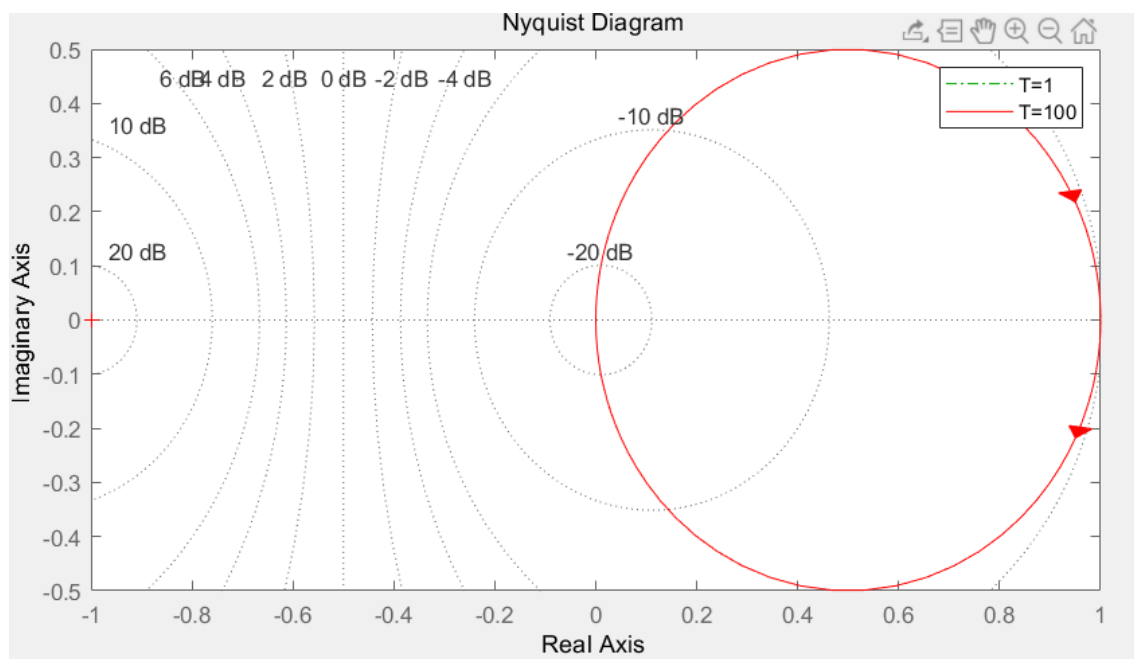
结论：Nyquist图关于虚轴对称。Bode图幅频特性相同，相频特性关于 $0^\circ$ 线对称

### 问题3

```

1  clc
2  clear all
3  close all
4  num=[1];
5  den1=[1 1];
6  den2=[100 1];
7  sys1=tf(num,den1);
8  sys2=tf(num,den2);
9  figure(1);
10 hold on
11 nyquist(sys1,'g-.')
12 nyquist(sys2,'r')
13 hold off
14 grid
15 legend('T=1','T=100');
16
17 figure(2);
18 bode(sys1)
19 hold on
20 bode(sys2)
21 hold off
22 grid
23 legend('T=1','T=100');

```



结论：对于惯性环节，选取 $K=1$ ,  $T=1$ 和 $100$ ，得到的Nyquist曲线重合。这是因为惯性环节  $\frac{K}{1+j\omega T}$  的幅相特性是以  $(\frac{K}{2}, j0)$  为圆心的半圆。复平面上相同的点，对于不同的 $T$ ，有不同的 $\omega$ 值。

惯性环节转折频率  $\omega = \frac{1}{T}$ ，故 $T=100$ 的幅频特性转折频率小。两系统的幅频特性斜率相同，相频特性有差异。

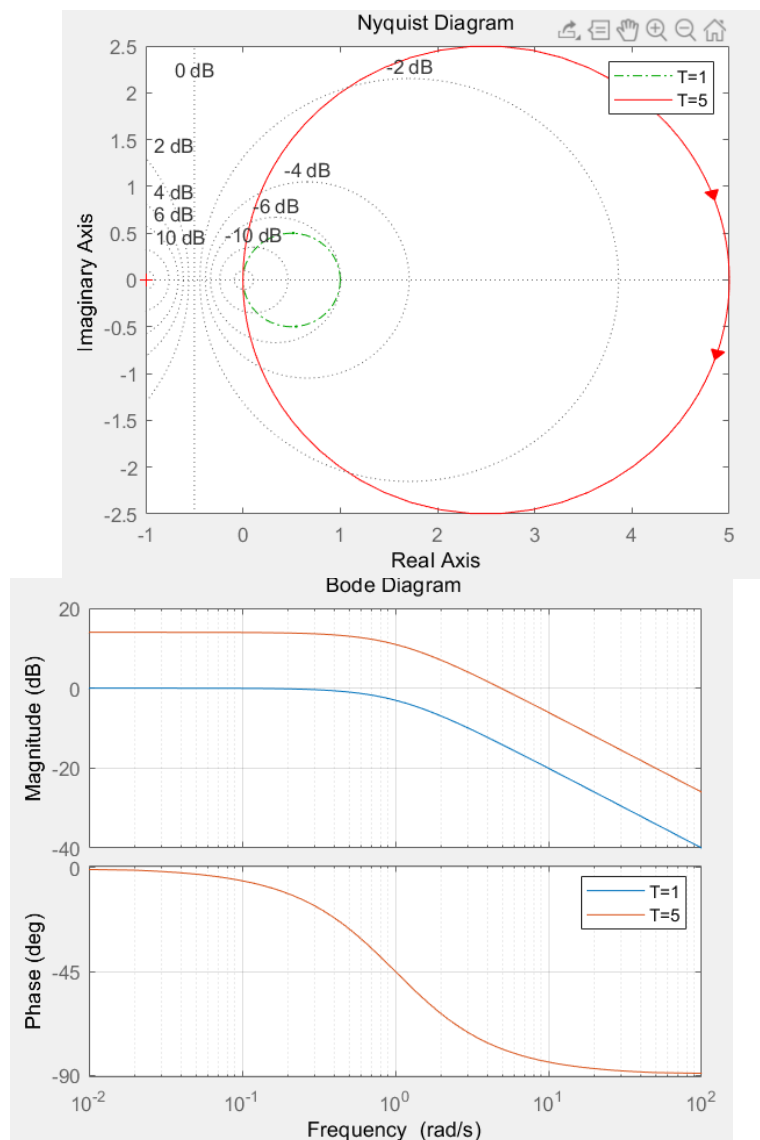
#### 问题4



```

2 clear all
3 close all
4 num1=[1];
5 num2=[5];
6 den=[1 1];
7 sys1=tf(num1,den);
8 sys2=tf(num2,den);
9 figure(1);
10 hold on
11 nyquist(sys1,'g-.')
12 nyquist(sys2,'r')
13 hold off
14 grid
15 legend('T=1','T=5');
16
17 figure(2);
18 bode(sys1)
19 hold on
20 bode(sys2)
21 hold off
22 grid
23 legend('T=1','T=5');
24

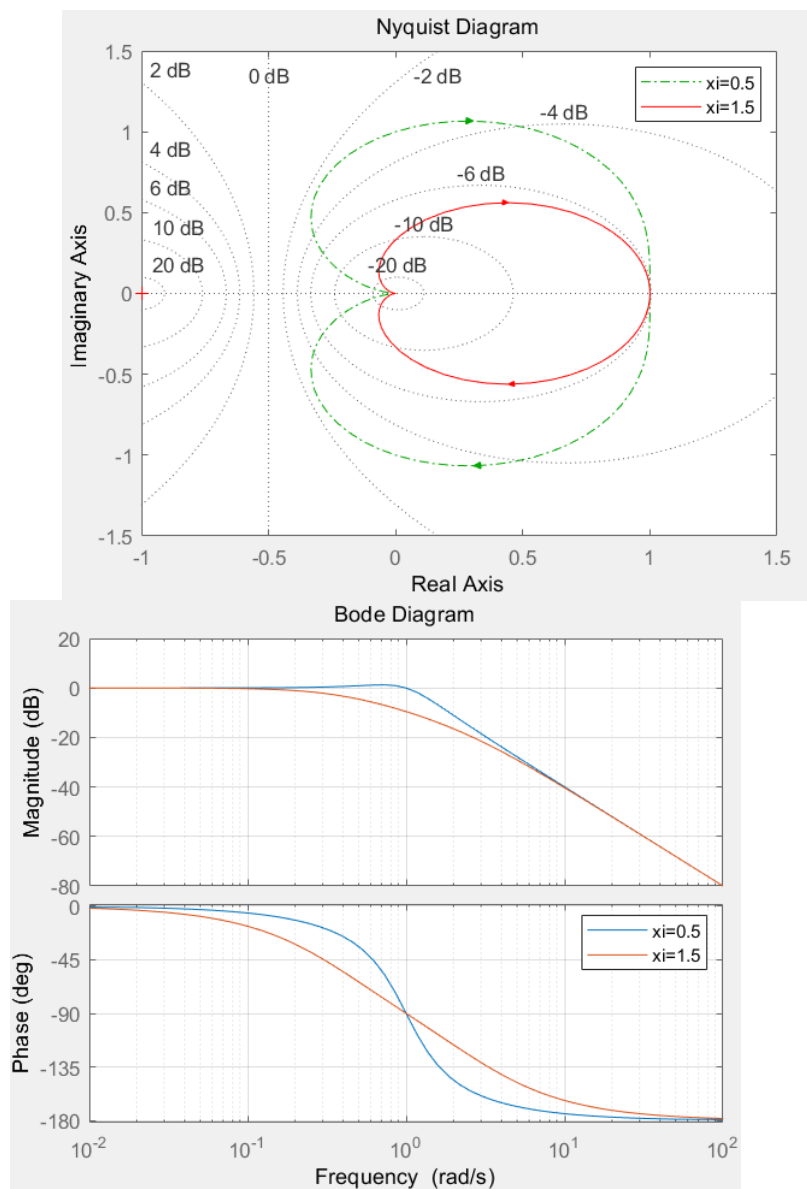
```



结论：取 $T=1, K=1$ 和5。由上题分析知，惯性环节 $\frac{K}{1+j\omega T}$ 的幅相特性是以 $(\frac{K}{2}, j0)$ 为圆心的半圆。增大 $K$ 会使Nyquist图半径增大，圆心右移。同时，Bode图的基准线为 $\omega = 1, L(\omega) = 20\lg K$ ,  $K$ 越大，与 $L(\omega)$ 轴的交点坐标值越大。

## 问题5

```
1  clc
2  clear all
3  close all
4  num1=[1];
5  num2=[1];
6  T1=1;xi1=0.5;
7  den1=[T1^2 2*T1*xi1 1];
8  T2=1;xi2=1.5;
9  den2=[T2^2 2*T2*xi2 1];
10 sys1=tf(num1,den1);
11 sys2=tf(num2,den2);
12 figure(1);
13 hold on
14 nyquist(sys1,'g-.')
15 nyquist(sys2,'r')
16 hold off
17 grid
18 legend('xi=0.5','xi=1.5');
19
20 figure(2);
21 bode(sys1)
22 hold on
23 bode(sys2)
24 hold off
25 grid
26 legend('xi=0.5','xi=1.5');
27
```



结论：取 $T=1$ ， $\xi$ 分别等于0.5和1.5。阻尼比越小，对应的Nyquist图所围成的面积越大。阻尼比小于0.707，则会出现谐振峰值，可在Bode图上观测得到。对应的Nyquist图上也存在到原点距离最大的一点，该点即为谐振点。

## 问题6

```

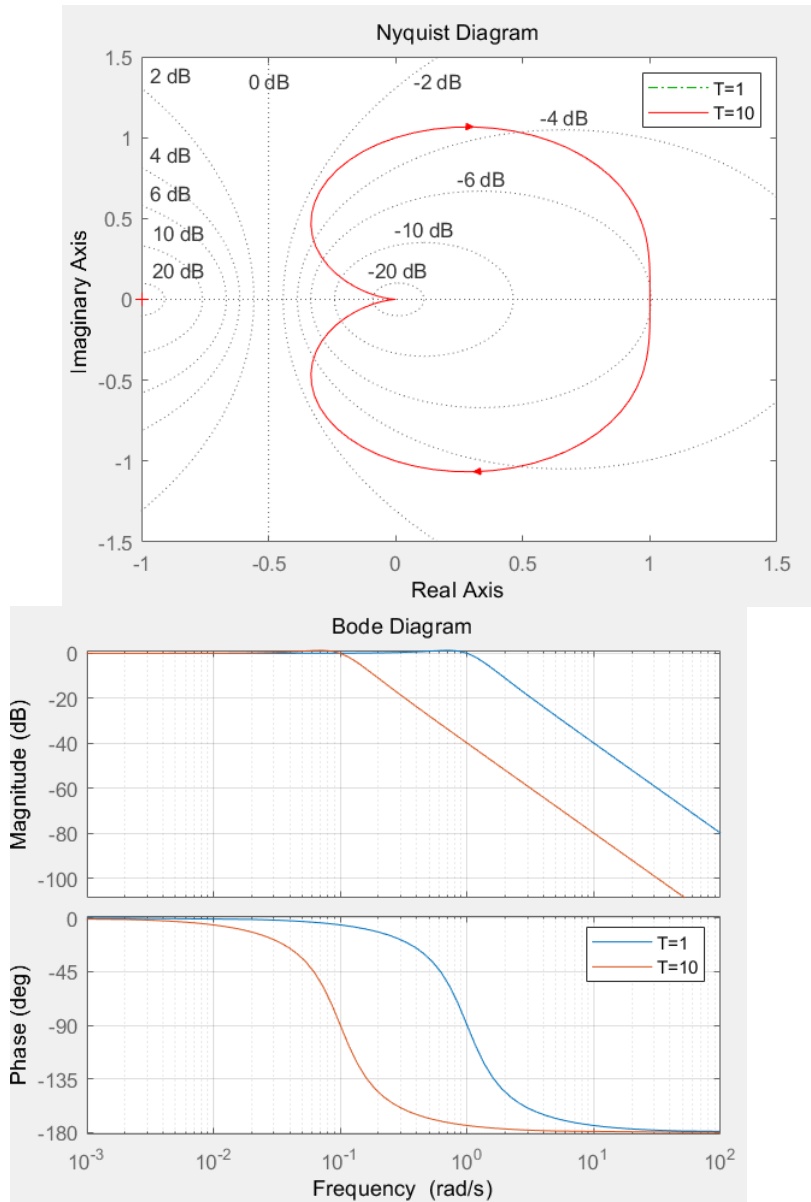
1  clc
2  clear all
3  close all
4  num1=[1];
5  num2=[1];
6  T1=1;xi1=0.5;
7  den1=[T1^2 2*T1*xi1 1];
8  T2=10;xi2=0.5;
9  den2=[T2^2 2*T2*xi2 1];
10 sys1=tf(num1,den1);
11 sys2=tf(num2,den2);
12 figure(1);
13 hold on
14 nyquist(sys1,'g-.')
15 nyquist(sys2,'r')
16 hold off
17 grid
18 legend('T=1','T=10');

```

```

19
20 figure(2);
21 bode(sys1)
22 hold on
23 bode(sys2)
24 hold off
25 grid
26 legend('T=1', 'T=10');

```



分析：取  $\xi=0.5$ , T分别1和10。Nyquist图重合，但转折频率为  $\omega = \frac{1}{T}$ ，故T越大，转折频率越小（从Bode图中可以看出）。

## 问题7

```

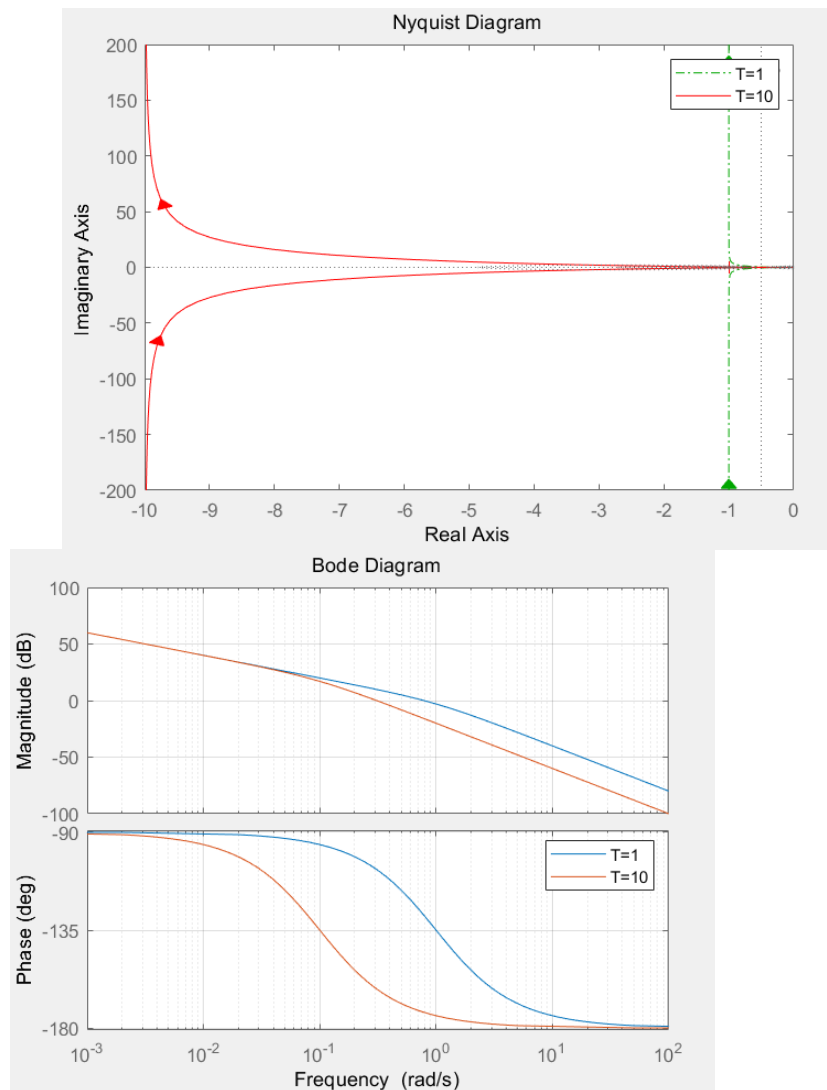
1 clc
2 clear all
3 close all
4 num1=[1];
5 num2=[1];
6 T1=1;
7 den1=[T1 1 0];
8 T2=10;

```

```

9  den2=[T2 1 0];
10 sys1=tf(num1,den1);
11 sys2=tf(num2,den2);
12 figure(1);
13 hold on
14 nyquist(sys1,'g-.'')
15 nyquist(sys2,'r')
16 hold off
17 grid
18 legend('T=1','T=10');
19
20 figure(2);
21 bode(sys1)
22 hold on
23 bode(sys2)
24 hold off
25 grid
26 legend('T=1','T=10');
27

```

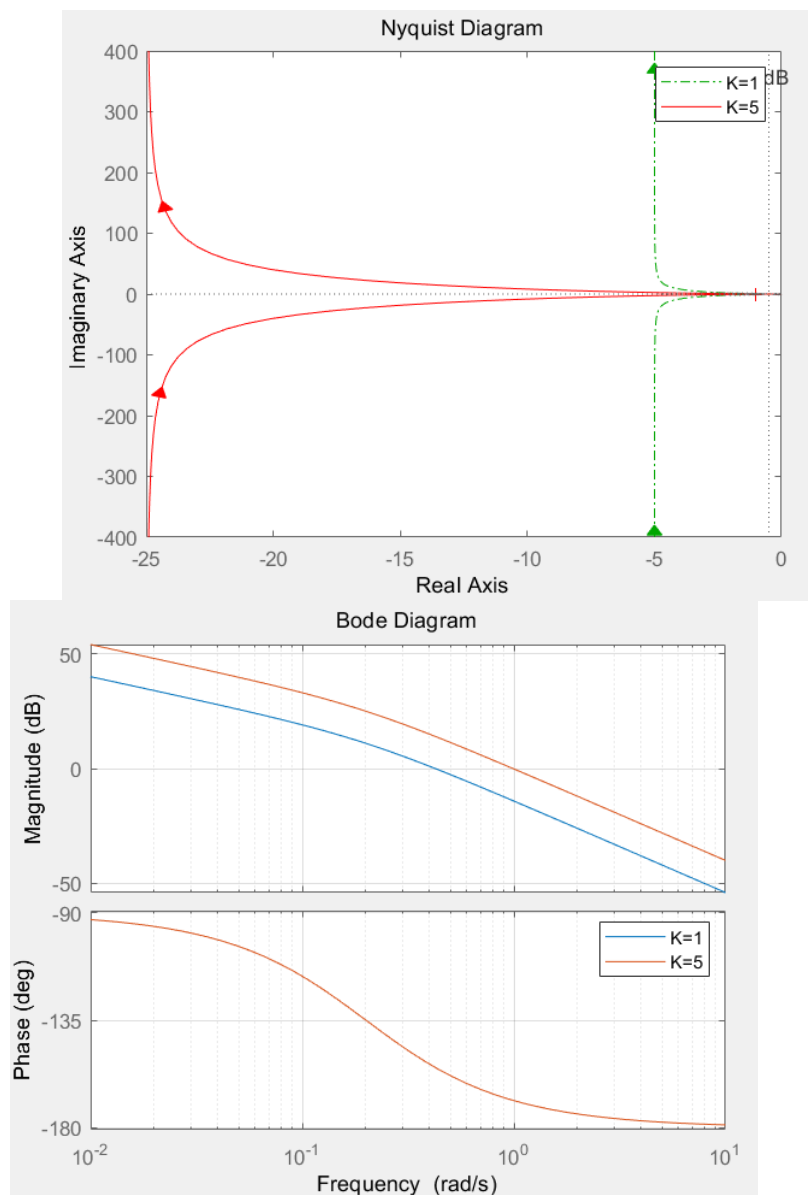


分析：取 $K=1$ ,  $T$ 分别等于1和10。 $T$ 的大小影响Nyquist图的起点，也影响Bode图的相频特性，以及幅频特性的转折频率。

## 问题8

1 c1c

```
2 clear all
3 close all
4 num1=[1];
5 num2=[5];
6 T1=5;
7 den1=[T1 1 0];
8 T2=5;
9 den2=[T2 1 0];
10 sys1=tf(num1,den1);
11 sys2=tf(num2,den2);
12 figure(1);
13 hold on
14 nyquist(sys1,'g-.')
15 nyquist(sys2,'r')
16 hold off
17 grid
18 legend('K=1','K=5');
19
20 figure(2);
21 bode(sys1)
22 hold on
23 bode(sys2)
24 hold off
25 grid
26 legend('K=1','K=5');
27
```



对于K=1或5,  $T=5$ , 由Nyquist稳定判据  $Z=P-R$ ,  $P=0$ ,  $R=0$ 知系统稳定。

## 问题9

```

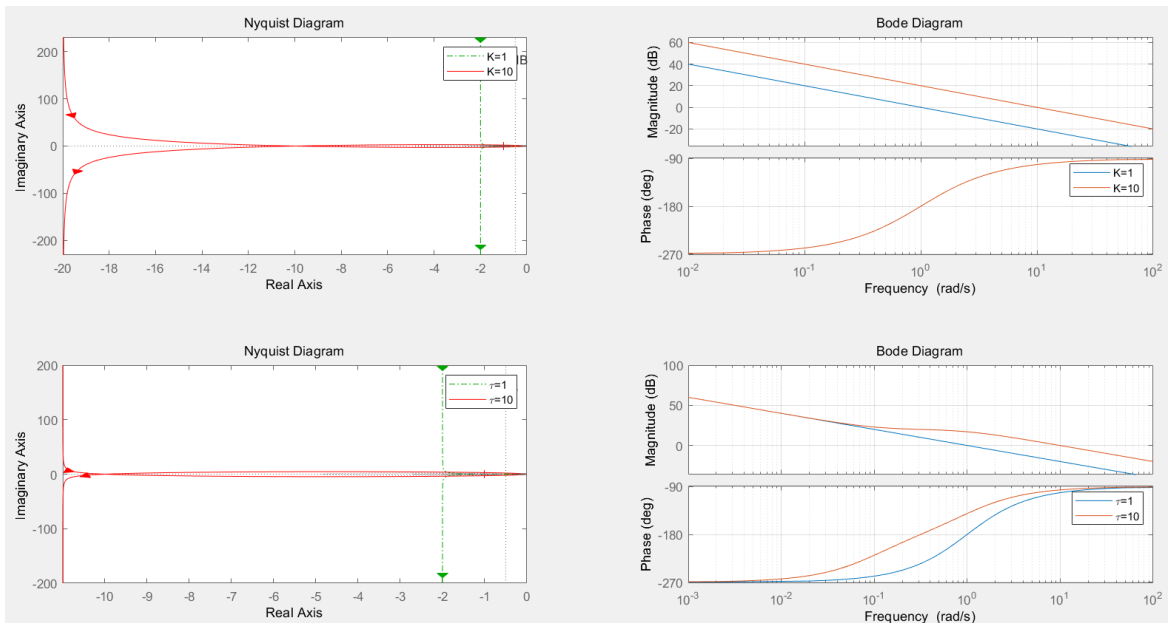
1  clc
2  clear all
3  close all
4  %\tau=1,T=1
5  num1=[1 1];%K=1
6  num2=[10 10];%K=10
7  den1=[1 -1 0];
8  den2=[1 -1 0];
9  sys1=tf(num1,den1);
10 sys2=tf(num2,den2);
11 figure(1);
12 subplot(2,2,1)
13 hold on
14 nyquist(sys1,'g-.')
15 nyquist(sys2,'r')
16 hold off
17 grid
18 legend('K=1','K=10');
19 %figure(2);
20 subplot(2,2,2)

```

```

21 bode(sys1)
22 hold on
23 bode(sys2)
24 hold off
25 grid
26 legend('K=1', 'K=10');
27
28 %T=1, K=1
29 num1=[1 1]; %\tau=1
30 num2=[10 1]; %\tau=10
31 den1=[1 -1 0];
32 den2=[1 -1 0];
33 sys1=tf(num1,den1);
34 sys2=tf(num2,den2);
35 %figure(3);
36 subplot(2,2,3);
37 hold on
38 nyquist(sys1,'g-.'')
39 nyquist(sys2,'r')
40 hold off
41 grid
42 legend('\tau=1', '\tau=10');
43 %figure(4);
44 subplot(2,2,4);
45 bode(sys1)
46 hold on
47 bode(sys2)
48 hold off
49 grid
50 legend('\tau=1', '\tau=10');
51

```



**结论：**取 $T=1$ ,  $\tau = 1$   $K$ 分别等于1和10。由于有串联积分环节，需画出增补的Nyquist图，由增补Nyquist图可知，当 $K=1$ 时，曲线恰经过 $(-1, j0)$ 点，闭环系统临界稳定。当 $K=10$ ，围绕 $(-1, j0)$ 恰好绕过角度 $\pi$ ，又 $P=1$ ，由Nyquist判据知，系统稳定。当 $K$ 较大时，系统稳定；当 $K$ 较小时，系统不稳定。

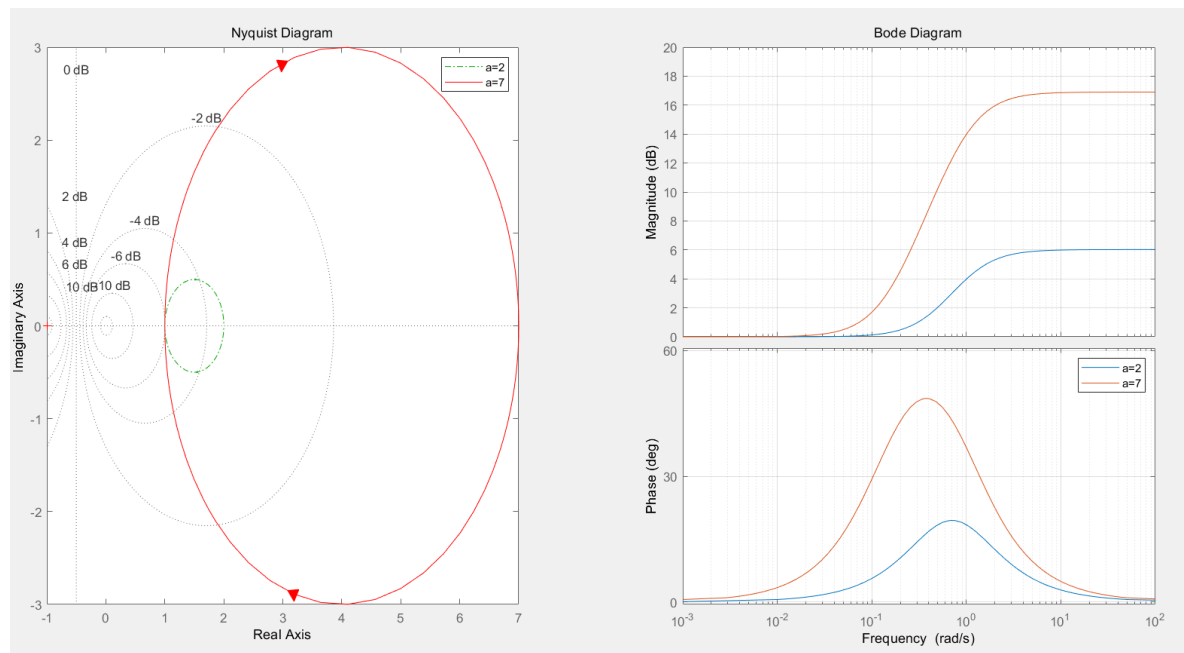
取 $T=1$ ,  $k=1$ ,  $\tau$  分别等于1和10。由于有串联积分环节，需画出增补的Nyquist图，由增补Nyquist图可知，当 $\tau=1$ 时，曲线恰经过 $(-1, j0)$ 点，闭环系统临界稳定。当 $\tau=10$ ，围绕 $(-1, j0)$ 恰好绕过角度 $\pi$ ，又 $P=1$ ，由Nyquist判据知，系统稳定。当 $\tau$ 较大时，系统稳定；当 $\tau$ 较小时，系统不稳定。



由Routh判据知，当  $K\tau > 1$ ，系统稳定。

## 问题10

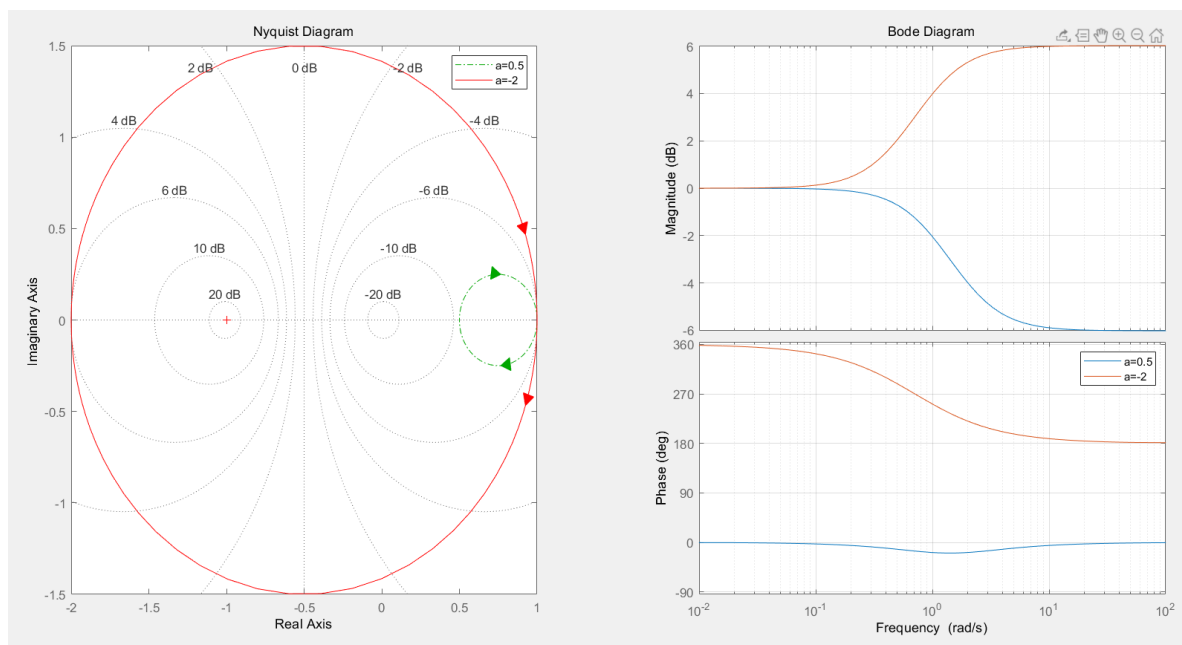
```
1  clc
2  clear all
3  close all
4  % T=1
5  num1=[2 1];
6  num2=[7 1];
7  den1=[1 1];
8  den2=[1 1];
9  sys1=tf(num1,den1);
10 sys2=tf(num2,den2);
11 figure(1);
12 subplot(1,2,1)
13 hold on
14 nyquist(sys1,'g-.')
15 nyquist(sys2,'r')
16 hold off
17 grid
18 legend('a=2','a=7');
19 subplot(1,2,2)
20 bode(sys1)
21 hold on
22 bode(sys2)
23 hold off
24 grid
25 legend('a=2','a=7');
```



结论：取 $T=1$ ， $a$ 分别等于2和7。由Nyquist图可知， $a$ 越大，半径越大。由Bode图知， $a$ 越大，幅频特性和相角特性能达到的最大值也增大。只要 $a>1$ ，闭环系统就稳定。

## 问题11

代码主体框架同上，取 $a=0.5$ 和 $-2$

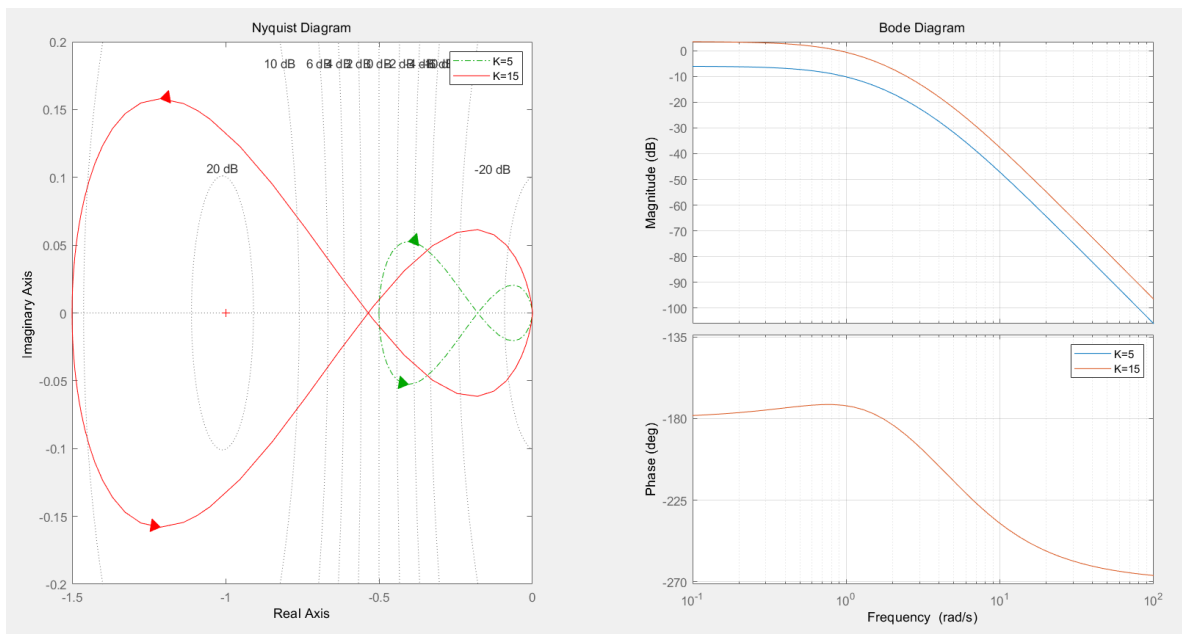


当 $a < -1$ ，闭环系统不稳定；当 $a > -1$ ，系统稳定。

## 问题12

```

1  clc
2  clear all
3  close all
4  num1=[5];
5  num2=[15];
6  den1=[1 6 3 -10];
7  den2=[1 6 3 -10];
8  sys1=tf(num1,den1);
9  sys2=tf(num2,den2);
10 figure(1);
11 subplot(1,2,1)
12 hold on
13 nyquist(sys1,'g-.')
14 nyquist(sys2,'r')
15 hold off
16 grid
17 legend('k=5','k=15');
18 subplot(1,2,2)
19 bode(sys1)
20 hold on
21 bode(sys2)
22 hold off
23 grid
24 legend('k=5','k=15');
```



取K分别为5和15，由Nyquist图知，K=15时， $\omega = 0 \rightarrow +\infty$  曲线绕 $(-1, j0)$  的角度为 $\pi$ ，又因为开环传函在右半平面的极点数为1，满足Nyquist稳定判据，闭环系统稳定。同理，K=5时闭环系统不稳定。

可以得出结论当 $K > 10$ 时，闭环系统稳定；否则不稳定。